

**CNA**

**MICROFICHE N°**

**02085**

~~Ministère Tunisien~~

~~MINISTÈRE DE LA CULTURE~~

~~CENTRE NATIONAL DE~~

~~DOCUMENTATION ALIMENTAIRE~~

~~TUNIS~~

**الجنة  
الناظمة  
للتوصيات  
الفنلندية**

**المركز العربي  
للتحكيم الفنلندي  
تونس**

**F** **□**

000 A 2995

PROJET DE SIDI SAAD

INTRODUCTION DANS LA TECHNIQUE

D'ESSAI DE CHAUFFEMENT DIRECT IN

DU SIDI SAAD

GR 10

~~REQUÊTE DE L'ADMISSION~~  
~~Étendue de l'A.S.~~  
~~Étendue au sein d'un~~

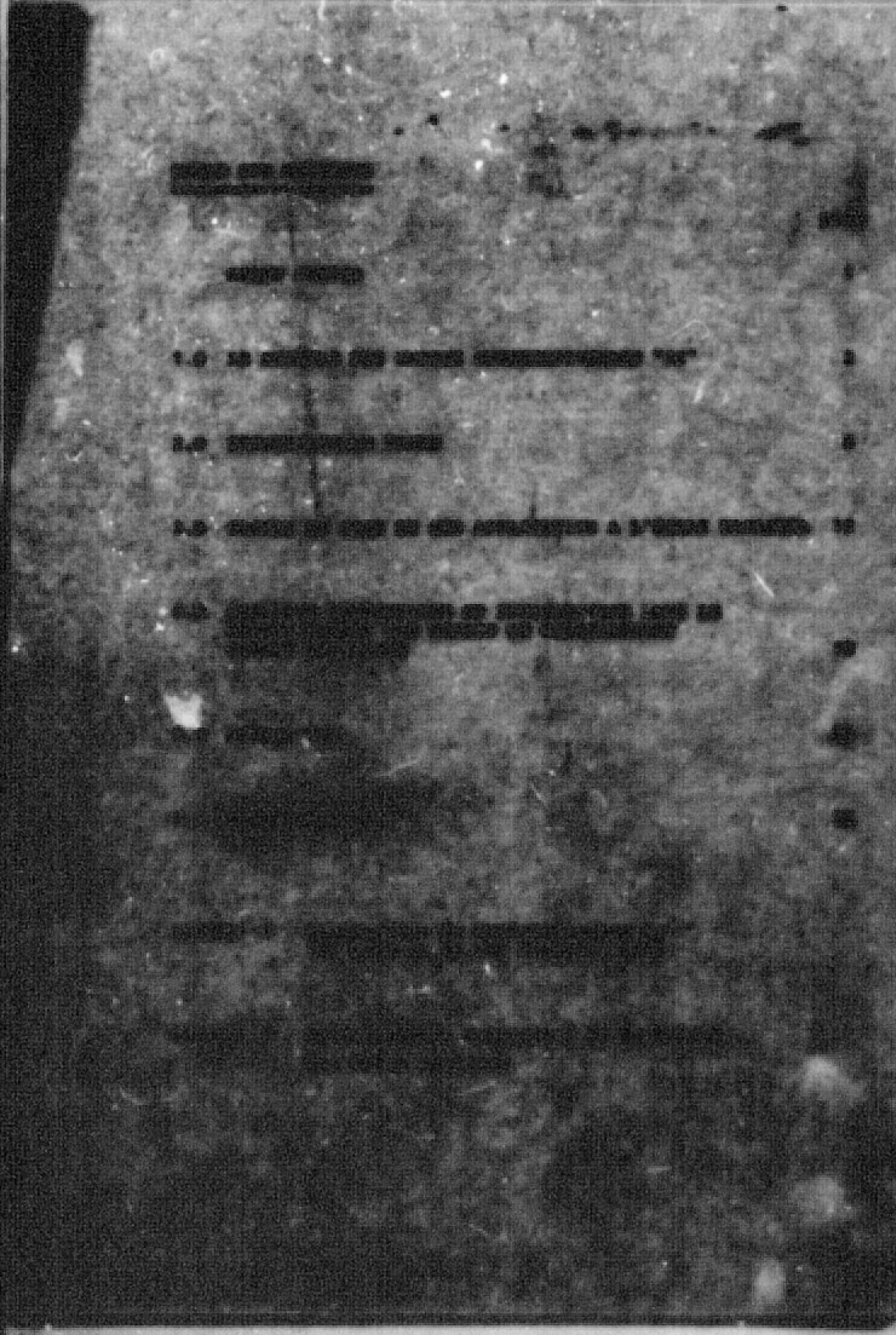
CANADA 1916

~~POUR LA GOUVERNEMENT~~

~~DE LA PROVINCE DE LA  
CONFÉDÉRATION SOUS LE GOUVERNEMENT~~

■ 19

~~LE GOUVERNEMENT DE LA CONFÉDÉRATION  
DU CANADA~~



[REDACTED]

[REDACTED]  
[REDACTED] [REDACTED] [REDACTED]

[REDACTED]  
[REDACTED] [REDACTED] [REDACTED]  
[REDACTED] [REDACTED] [REDACTED]  
[REDACTED] [REDACTED] [REDACTED]  
[REDACTED] [REDACTED] [REDACTED]

[REDACTED]  
[REDACTED] [REDACTED] [REDACTED]  
[REDACTED] [REDACTED] [REDACTED]  
[REDACTED] [REDACTED] [REDACTED]

[REDACTED]  
[REDACTED] [REDACTED] [REDACTED]  
[REDACTED] [REDACTED] [REDACTED]  
[REDACTED] [REDACTED] [REDACTED]

[REDACTED]  
[REDACTED] [REDACTED] [REDACTED]  
[REDACTED] [REDACTED] [REDACTED]

• Do you have information on  
• any other individuals involved with the case "X"  
• or other associates & parties the year 1970.

<u>Individual</u>	<u>Relationship</u>	<u>Status</u>
[REDACTED]	[REDACTED]	[REDACTED]
[REDACTED] the names [REDACTED] [REDACTED]	[REDACTED]	[REDACTED]
[REDACTED] [REDACTED] [REDACTED]	[REDACTED]	[REDACTED]
[REDACTED] the [REDACTED]	[REDACTED]	[REDACTED]
[REDACTED] the [REDACTED]	[REDACTED]	[REDACTED]

Indicates Long term & important

Indicates Short term

[REDACTED]	[REDACTED]	[REDACTED]
[REDACTED]	[REDACTED]	[REDACTED]
[REDACTED]	[REDACTED]	[REDACTED]
[REDACTED] o [REDACTED]	[REDACTED]	[REDACTED]
[REDACTED] o [REDACTED]	[REDACTED]	[REDACTED]

Indicates associates and peers

[REDACTED]	[REDACTED]	[REDACTED]
[REDACTED]	[REDACTED]	[REDACTED]
[REDACTED]	[REDACTED]	[REDACTED]

Indicates associates & peers

Indicates associates & peers

COMMUNIQUE DES ENTREPRISES DE TRAVAUX DE L'ADMINISTRATION

Quantité des piles érigées dans les Etats-Unis	Unité SI	pour convertir en	multiplicateur pour
inchés cubes (in.)	millimètres cubes	cm <sup>3</sup>	23,30
	cubic feet	ft <sup>3</sup>	0,0283
	cubic yards	yd <sup>3</sup>	0,001341
feet	yd <sup>3</sup>	yd <sup>3</sup>	0,333
yards	yd <sup>3</sup>	yd <sup>3</sup>	0,031
yd <sup>3</sup>	yd <sup>3</sup>	yd <sup>3</sup>	1,00
yd <sup>3</sup>	ft <sup>3</sup>	ft <sup>3</sup>	0,0283
yd <sup>3</sup>	in.	in.	3628,8
yd <sup>3</sup>	cm <sup>3</sup>	cm <sup>3</sup>	1000000
yd <sup>3</sup>	mm <sup>3</sup>	mm <sup>3</sup>	1000000000
yd <sup>3</sup>	cu. m.	cu. m.	0,001
yd <sup>3</sup>	cu. m.	cu. m.	1000
yd <sup>3</sup>	cu. m.	cu. m.	0,001
yd <sup>3</sup>	cu. m.	cu. m.	1000000
yd <sup>3</sup>	cu. m.	cu. m.	1000000000
yd <sup>3</sup>	cu. m.	cu. m.	1,00

à lire jusqu'à ce qu'il soit fin

[REDACTED]

[REDACTED]

[REDACTED]

2. [REDACTED]

1	2	3	4	5
1	2	3	4	5
0,1	0,2	0,3	0,4	0,5
0,6	0,7	0,8	0,9	0,0
0,00	0,00	0,00	0,00	0,00

3. [REDACTED]

1	2	3	4	5	6	7
1	2	3	4	5	6	7
0,1	0,2	0,3	0,4	0,5	0,6	0,7
0,6	0,7	0,8	0,9	0,0	0,0	0,0
0,00	0,00	0,00	0,00	0,00	0,00	0,00

4. [REDACTED]

[REDACTED]

5. [REDACTED]

[REDACTED]

[REDACTED]

[REDACTED]

[REDACTED]

Tableau No. 2  
suite

Forces			Intensities			Pressions (Fluides)			
N	kg	lb	kg/cm <sup>2</sup>	lb/inch <sup>2</sup>	MPa/m <sup>2</sup> = kg/mm <sup>2</sup>	N/m <sup>2</sup> = Pa	daN	bar	MPa
1			1			1	10 <sup>-3</sup>	10 <sup>-5</sup>	10 <sup>-6</sup>
10			10			10			
100			100			100			
1000	1		1000	1		1000	1		
	10			10		10			
	100			100		100	1		
	1000	1		1000	1	10 <sup>6</sup>	1000	10	1
	10000					10		100	100
	100000					100		1000	1000
	1000000					1000		10000	10000

$$1 \text{ kg} = 9,80665 \text{ N} \Rightarrow 10 \text{ N} = 1 \text{ daN}$$

$$1 \text{ g} = 0,01 \text{ N}$$

$$1 \text{ kg/cm}^2 \approx 1 \text{ daN/cm}^2 = 10 \text{ N/inch}^2 = 0,1 \text{ MPa/m}^2$$

$$1 \text{ kg/cm}^2 \approx 1000 \text{ Pa} = 1 \text{ N/mm}^2 = 0,01 \text{ MPa}$$

Les multiples et sous-multiples des unités  
sont abrégés comme suit:

doivent

Multiples.....	Symbol.....	Powers.....
giga	G	$10^9$
mega	M	$10^6$
kilo	K	$10^3$
hecto	H	$10^2$
deca	d	$10^1$
deci	d	$10^{-1}$
centi	c	$10^{-2}$
milli	m	$10^{-3}$
micro	μ	$10^{-6}$
nano	n	$10^{-9}$
pico	p	$10^{-12}$

8.0 TRIGONOMETRIE PLANE

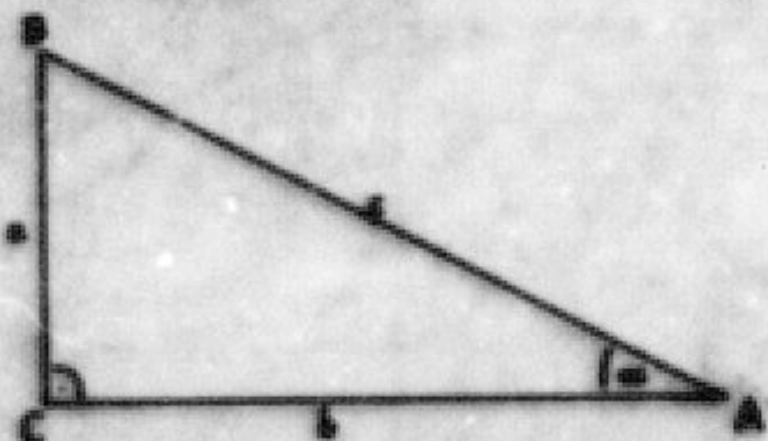


Fig. 1

Dans le triangle rectangle  $\triangle ABC$  les fonctions trigonométriques de l'angle alpha  $\alpha$  sont :

- sinus - cosinus - tangente - cotangente - secante - cosecante elles s'appliquent dans cette mesure :

$$\sin \alpha = \frac{a}{c}$$

$c$  = hypoténuse

$$\cos \alpha = \frac{b}{c}$$

$a$  = côté opposé à l'angle  $\alpha$

$$\tan \alpha = \frac{a}{b}$$

$b$  = côté adjacent à l'angle  $\alpha$   
pour un angle aigu il n'y a pas de défaut

$$\cotan \alpha = \frac{b}{a}$$

fonction inverse de la tangente  
par :

$$\sec \alpha = \frac{c}{b}$$

$a = 1 \cdot 2 \cdot 3 \dots (n-1) \cdot n$   
 $c = \sqrt{a^2 + b^2} = \sqrt{1^2 + 2^2 + 3^2 + \dots + n^2}$

$$\csc \alpha = \frac{c}{a}$$

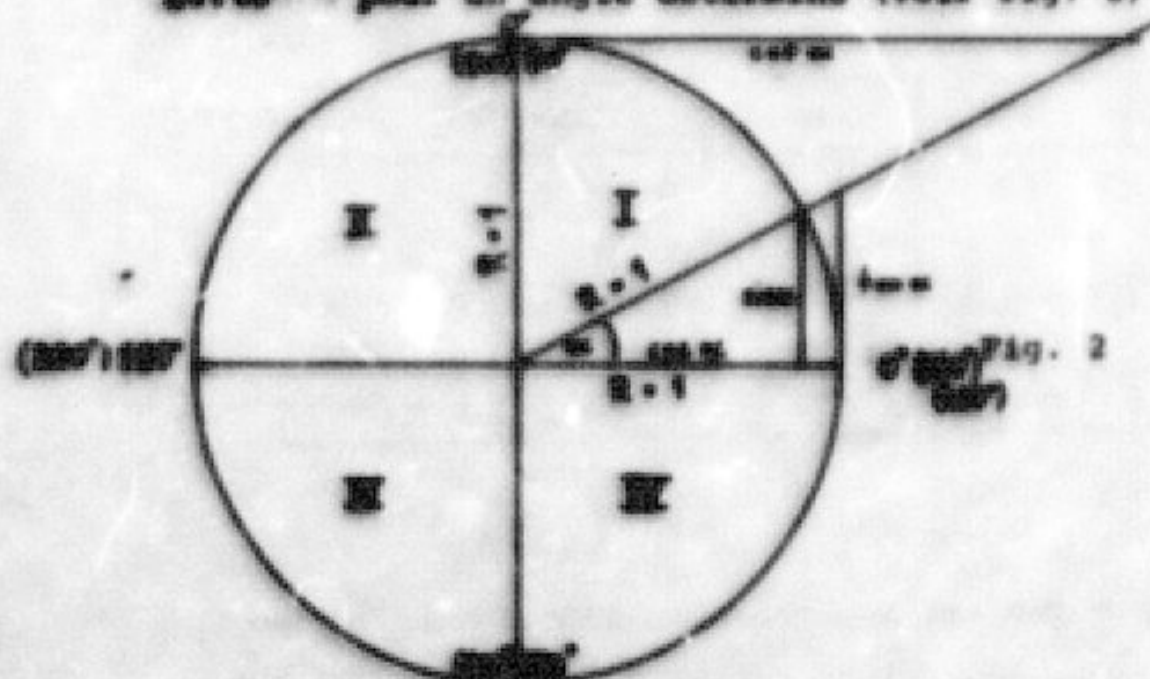
$a = 1 \cdot 2 \cdot 3 \dots (n-1) \cdot n$

Elles se calculent avec difficultés également par les ratios trigonométriques

$$\sin \alpha = \frac{a}{c} = \frac{\sqrt{1}}{\sqrt{1+n^2}} = \frac{\sqrt{1}}{\sqrt{1+1^2+2^2+\dots+n^2}} = \dots$$

$$\cos \alpha = \frac{b}{c} = \frac{\sqrt{n^2}}{\sqrt{1+n^2}} = \frac{\sqrt{n^2}}{\sqrt{1+1^2+2^2+\dots+n^2}} = \dots$$

Ici "x" correspond à la longueur de l'arc du cercle obtenu pour un angle déterminé (voir fig. 2)



Un cercle peut être divisé en  $360^\circ$  (diziers) ou  $60^\circ$  (grades).  
Le développement suivant est valable pour les diziers.

Dans le cercle standard avec le rapport  $R = 1$  on peut représenter les fonctions trigonométriques par les lignes droites en fig. 3

Les quatre quadrants (quarts de cercle) sont désignés par I, II, III, IV.

Les signes dans les quatre quadrants sont :

	sin	cos	tan	cot
I	+	+	+	+
II	+	-	-	-
III	-	-	+	+
IV	-	+	-	-

Le rapport entre les fonctions d'angle dans les quatre quadrants est:

	sin	cos	tan	cot
- a	- sin a	cos a	- tan a	- cot a
90° ± a	cos a	± sin a	± cot a	± tan a
180° ± a	± sin a	- cos a	± tan a	± cot a
270° ± a	- cos a	± sin a	± cot a	± tan a
360° ± a	± sin a	cos a	± tan a	± cot a

Valeurs de fonctions trigonométriques sur des angles particuliers:

a	sin a	cos a	tan a	cot a
0°	0	1	0	± ∞
30°	1/2	1/2 √3	1/2 √3	√3
45°	1/2 √2	1/2 √2	1	1
60°	1/2 √3	1/2	√3	1/3 √3
90°	1	0	± ∞	0
120°	0	-1	0	± ∞
135°	-1	0	± ∞	0
150°	0	1	0	± ∞

∞ : fonction non définie

sin 0 = 0 = 0

sin 90° = 1 = 1

sin 180° = 0 = 0

sin 270° = -1 = -1

sin 360° = 0 = 0

Le symbole "e" est la valeur limite de la suite des rapports  $\frac{a_n}{a_{n-1}}$

$$a_n = (1 + \frac{1}{n})^{n+1}$$

et aussi la valeur limite de la suite de termes partiels

$$a_n = (1 + \frac{1}{n})^{n+1}$$

$n$	$a^2$	$a^3$	$a^4$	$a^5$	$a^6$	$a^7$	$a^8$	$a^9$	$a^{10}$
$a_1$	$\frac{2}{3}$	$\frac{3}{4}$	$\frac{4}{5}$	$\frac{5}{6}$	$\frac{6}{7}$	$\frac{7}{8}$	$\frac{8}{9}$	$\frac{9}{10}$	$\frac{10}{11}$
val. de chiffr.	0,667	0,750	0,792	0,833	0,867	0,895	0,923	0,944	0,962

Pour un triangle quelconque, pris absoument à angle droit, les formules suivantes sont valables (v. fig. 3).

#### Résumé des théorèmes

$$t = \sqrt{a^2 + b^2}$$

$$t = \sqrt{a^2 + c^2}$$

$$t = \sqrt{b^2 + c^2}$$

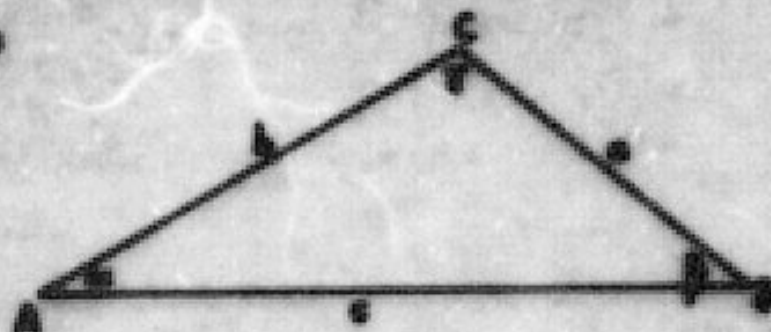


Fig. 3

#### Résumé des méthodes

$$a^2 = b^2 + c^2 - 2bc \cdot \cos \alpha$$

$$b^2 = a^2 + c^2 - 2ac \cdot \cos \beta$$

$$c^2 = a^2 + b^2 - 2ab \cdot \cos \gamma$$

#### Résumé des théorèmes

$$M = \frac{a+b+c}{2}, \quad M = \frac{a+b}{2}, \quad M = \frac{a+c}{2}$$

Théorème de cotangente

dans le triangle où  $a = \frac{b+c}{2}$  et  $s = \sqrt{\frac{(s-a)(s-b)(s-c)}{s}}$

alors  $\cot \frac{A}{2} = \frac{s-a}{s}$ ,  $\cot \frac{B}{2} = \frac{s-b}{s}$ ,  $\cot \frac{C}{2} = \frac{s-c}{s}$   
est valable

Formule de la hauteur

$$h_a = b \sin \gamma = c \sin \beta$$

$$h_b = c \sin \alpha = a \sin \gamma$$

$$h_c = a \sin \beta = b \sin \gamma$$

Rapport entre les fonctions trigonométriques

$$\sin^2 \alpha + \cos^2 \alpha = 1$$

$$\tan \alpha = \frac{\sin \alpha}{\cos \alpha} = \frac{1}{\cot \alpha}$$

$$\cot \alpha = \frac{\cos \alpha}{\sin \alpha} = \frac{1}{\tan \alpha}$$

$$\frac{1}{\cos^2 \alpha} = 1 + \tan^2 \alpha : \frac{1}{\sin^2 \alpha} = 1 + \cot^2 \alpha$$

	$\sin \alpha$	$\cos \alpha$	$\tan \alpha$	$\cot \alpha$
$\sin \alpha$	-	$\sqrt{1-\sin^2 \alpha}$	$\frac{\sin \alpha}{\sqrt{1-\sin^2 \alpha}}$	$\frac{1}{\sqrt{1-\sin^2 \alpha}}$
$\cos \alpha$	$\sqrt{1-\sin^2 \alpha}$	-	$\frac{\sqrt{1-\sin^2 \alpha}}{\sin \alpha}$	$\frac{\cos \alpha}{\sqrt{1-\sin^2 \alpha}}$
$\tan \alpha$	$\frac{\sin \alpha}{\sqrt{1-\sin^2 \alpha}}$	$\frac{\sqrt{1-\sin^2 \alpha}}{\sin \alpha}$	-	$\frac{1}{\sin \alpha}$
$\cot \alpha$	$\frac{\sqrt{1-\sin^2 \alpha}}{\sin \alpha}$	$\frac{\sin \alpha}{\sqrt{1-\sin^2 \alpha}}$	$\frac{1}{\sin \alpha}$	-

Fonctions d'angles composés:

$$\sin(\alpha \pm \beta) = \sin \alpha \cos \beta \pm \cos \alpha \sin \beta$$

$$\cos(\alpha \pm \beta) = \cos \alpha \cos \beta \mp \sin \alpha \sin \beta$$

$$\tan(\alpha \pm \beta) = \frac{\tan \alpha \pm \tan \beta}{1 \mp \tan \alpha \tan \beta}$$

$$\cot(\alpha \pm \beta) = \frac{\cot \alpha \cot \beta \pm 1}{\cot \alpha + \cot \beta}$$

$$\sin \alpha + \sin \beta = 2 \sin \frac{\alpha+\beta}{2} \cos \frac{\alpha-\beta}{2}$$

$$\sin \alpha - \sin \beta = 2 \cos \frac{\alpha+\beta}{2} \sin \frac{\alpha-\beta}{2}$$

$$\cos \alpha + \cos \beta = 2 \cos \frac{\alpha+\beta}{2} \cos \frac{\alpha-\beta}{2}$$

$$\cos \alpha - \cos \beta = -2 \sin \frac{\alpha+\beta}{2} \sin \frac{\alpha-\beta}{2}$$

$$\cos \alpha \pm \sin \beta = 2 \sin(45^\circ \pm \frac{\beta}{2}) \sin(45^\circ \pm \frac{\alpha}{2})$$

$$\cot \alpha \pm \tan \beta = \frac{\cos(\alpha \pm \beta)}{\sin \alpha \sin \beta}$$

### 3.0 CALCUL DE NORM ET SON APPLICATION A L'ESSAI TRIAXIAL (éch. de sol)

Considérons un élément de matériau élastique (béton, acier, caoutchouc, p.e.m.) en forme de parallélépipède à base triangulaire ABC.

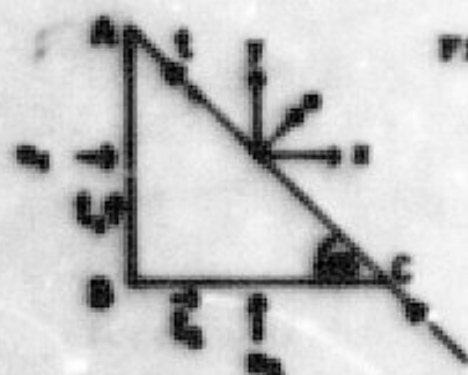


Fig. 4

Pour simplifier nous prenons la longueur AC = 1.

Si AC = 1, nous obtenons donc:

$$AB = \sin \alpha \text{ et } BC = \cos \alpha.$$

Sur la face AB agissent une contrainte normale  $n_1$  et une contrainte tangentielle  $t_1$ .

Sur la face BC agissent également  $n_2$  et  $t_2$ . Nous allons chercher à déterminer les valeurs des contraintes  $n$  (normales) et  $t$  (tangentialles) agissant sur la face AC.

La cohérence des matériaux (loi de CAUCHY) permet d'écrire l'équation de  $t_1 + t_2 = t$ .

Les valeurs de  $n$  et de  $t$  s'obtiennent facilement en les exprimant en tant qu'égalité des forces projetées et en tant que diagonales de  $n$  et de  $t$ .

$$\begin{aligned} n \cdot n &= n_1 \cdot AB \cdot \sin \alpha + n_2 \cdot BC \cdot \cos \alpha + St \cdot \sin \alpha \cos \alpha \\ &= n_1 \sin^2 \alpha + n_2 \cos^2 \alpha + 2t \sin \alpha \cdot \cos \alpha \end{aligned}$$

$$t = -n_1 \cdot AB \cdot \cos \alpha + n_2 \cdot BC \cdot \sin \alpha + t \sin^2 \alpha - t \cos^2 \alpha$$

On sait, d'après la trigonométrie, que:

$$\sin^2 \alpha + \cos^2 \alpha = 1$$

$$\sin \alpha \cos \alpha = 2 \sin \alpha \cos \alpha$$

$$\cos^2 \alpha = \frac{1 + \cos 2\alpha}{2}$$

$$\sin^2 \alpha = \frac{1 - \cos 2\alpha}{2}$$

En utilisant ces formules, nous pouvons transformer les relations

$$n = n_1 \left( \frac{1 - \cos 2\alpha}{2} \right) + n_2 \left( \frac{1 + \cos 2\alpha}{2} \right) + t \sin \alpha$$

$$(1) \quad \varphi = \frac{n_1 + n_2}{2} + \frac{\sin 2\alpha}{2} (n_2 - n_1) + t \sin 2\alpha$$

$$t = \frac{\sin 2\alpha}{2} (n_2 - n_1) + t \left( \frac{1 - \cos 2\alpha}{2} \right) - t \left( \frac{1 + \cos 2\alpha}{2} \right)$$

$$(2) \quad t = \frac{\sin 2\alpha}{2} (n_2 - n_1) - t \cos 2\alpha$$

Nous avons donc calculé les valeurs de  $t$  et de  $n$  agissant sur AC. Le point figuratif du vecteur contrainte  $R$ , considéré dans un système de coordonnées Ox, Ot, décrira un cercle dit " cercle de ROBERT".

En effet, effectuons un déplacement d'axes de manière à amener l'origine au point de coordonnées anciennes  $\frac{n_1 + n_2}{2}$ .

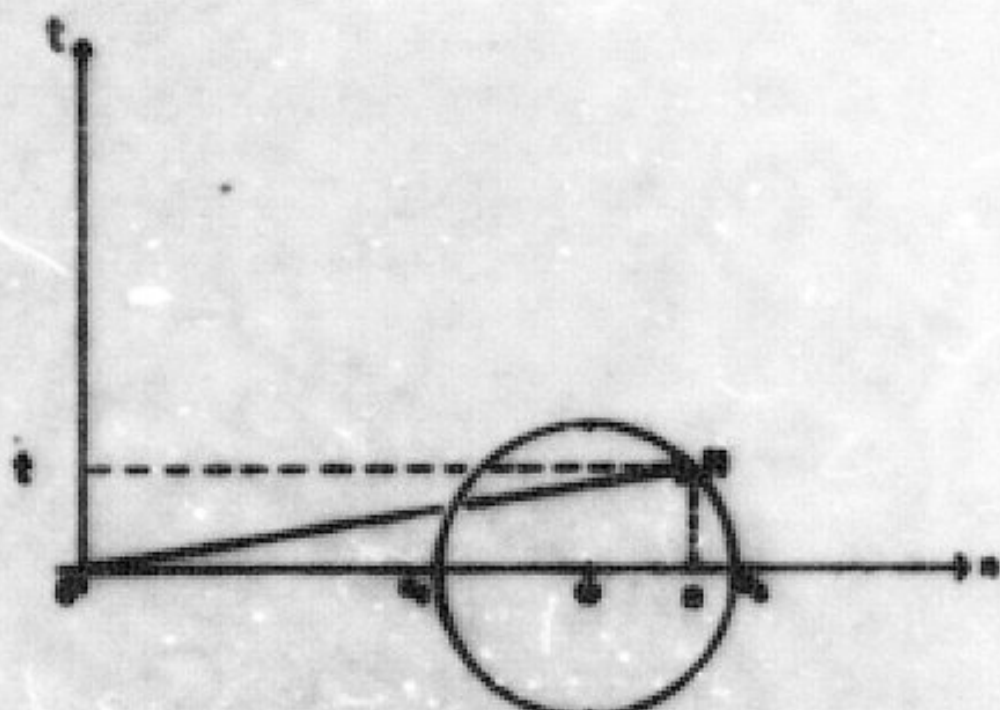


Fig. 5

Les nouvelles coordonnées sont :

$$x' = \frac{\sin 2\alpha}{2} (n_2 - n_1) + t \sin 2\alpha$$

$$y' = \frac{\cos 2\alpha}{2} (n_2 - n_1) - t \cos 2\alpha$$

$$x'^2 + y'^2 = \frac{\sin^2 2\alpha}{4} (n_2 - n_1)^2 + t^2 \sin^2 2\alpha + \cos^2 2\alpha \sin^2 2\alpha$$

$$\dots (n_2 - n_1) t + \frac{\sin^2 2\alpha}{4} (n_2 - n_1)^2 + t^2 \cos^2 2\alpha$$

$$- \sin 2\alpha \cos 2\alpha (n_2 - n_1) t$$

$$= \frac{1}{4} (n_2 - n_1)^2 + t^2 = \text{constante}$$

Le lieu de R est donc un cercle centré en  $\phi \left( \frac{n_1 + n_2}{2}, 0 \right)$

$$\text{et de rayon } R = \sqrt{\frac{1}{4} (n_2 - n_1)^2 + t^2}$$

$$\text{ou } R = \frac{1}{2} \sqrt{(n_2 - n_1)^2 + 4t^2} \quad (1)$$

Application à l'essai triaxial :

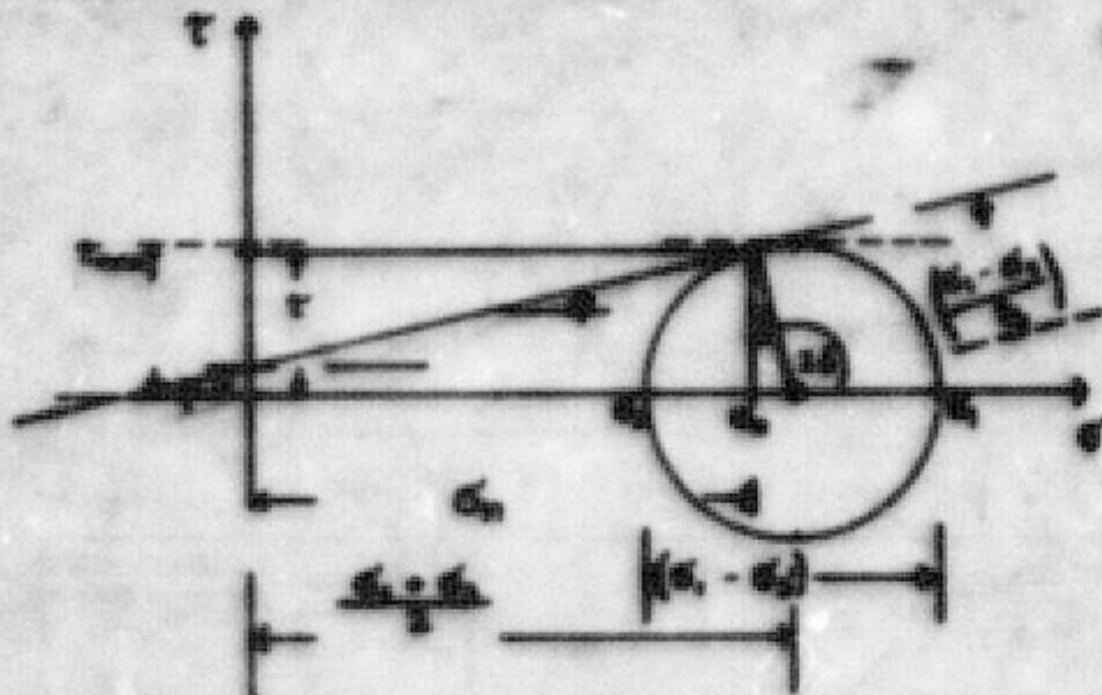


Fig. 6



$\theta = 45 + \frac{1}{2}$  angle de glissement  $\delta$

$a_1 = a_2 = \text{diamètre du cercle de base}$

$\frac{a_1 + a_2}{2} = \text{centre du cercle de base}$

$r_{\min} = \frac{a_1 - a_2}{2}$  résistance minimale au cisaillement  
à 45° = 45°

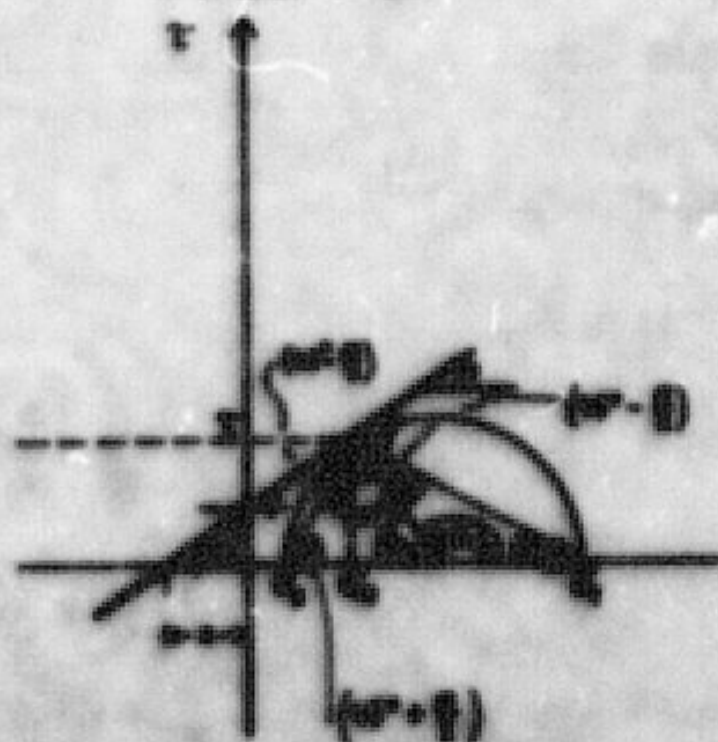


Fig. 7

$$\tan \theta = \frac{\sigma_2}{\sigma_1}, \quad \tan(45^\circ) = \frac{1}{2} \frac{1}{\sigma_1 - \sigma_2}$$

$$2\sigma_2 \frac{1-\frac{1}{2}}{\tan \theta} = \frac{1}{2} \frac{1}{\tan(45^\circ) - \theta}$$

$$\sigma_2 = \frac{\tan \theta}{2\tan(45^\circ)} + \sigma_1 - \sigma_2 \frac{1}{\tan(45^\circ) - \theta}$$

$$\sigma_2 = \left( \frac{1}{\tan \theta} - \frac{1}{\tan(45^\circ) - \theta} \right) - \frac{c}{\tan \theta}$$

$$\sigma_2 = \frac{1}{\tan(45^\circ) - \theta} + \frac{1}{\tan \theta} - \frac{c}{\tan \theta}$$

$$\tan \frac{1-\theta}{\tan \theta} = \tan \left( 45^\circ - \frac{\theta}{2} \right) - \frac{c}{\sigma_1 - \sigma_2}$$

$$1 = \tan \left( 45^\circ - \frac{\theta}{2} \right) \cdot \frac{1}{\frac{1}{\tan(45^\circ) - \theta} + \frac{1}{\tan \theta}}$$

$$\tan \left( 45^\circ - \frac{\theta}{2} \right) \cdot \frac{\tan(45^\circ) - \frac{1}{2}}{\tan(45^\circ) - \theta + \tan \theta}$$

$$\tan \left( 45^\circ - \frac{\theta}{2} \right) \cdot \frac{\tan(45^\circ) - \frac{1}{2} - \tan \theta}{\tan(45^\circ) - \theta - \tan \theta}$$

- $\sigma_2$  constante principale maxima
- $\sigma_1$  constante principale minima
- $\theta$  angle de rotation

$$\sigma_2 = \frac{\sigma_1 + \sigma_2}{2} + \frac{\sigma_1 - \sigma_2}{2} \cos 2\theta$$

$$(i) \sin \theta = \frac{\sigma_1 - \sigma_2}{2 \frac{1}{\tan \theta} + \sigma_1 + \sigma_2}$$

$$c = \left( \frac{\sigma_1 + \sigma_2}{2} - \sigma_1 - \sigma_2 \right) \cdot \frac{1-\theta}{2}$$

$$\tan \theta = \frac{1-\theta}{2}$$

$$(ii) c = \frac{\sigma_1 + \sigma_2}{2} - \frac{\sigma_1 - \sigma_2}{2} \tan \theta$$

$$\sin \theta = \frac{\frac{\sigma_1 - \sigma_2}{2}}{\left( \frac{\sigma_1 + \sigma_2}{2} \right)^2 + \left( \frac{\sigma_1 - \sigma_2}{2} \right)^2 + \sigma_1 \sigma_2}$$

$$\frac{\sigma_1 - \sigma_2}{2} = \left( \frac{\sigma_1 + \sigma_2}{2} + \frac{c}{\tan \theta} \right) \cdot \sin \theta$$

$$c = \frac{\sigma_1 - \sigma_2}{2}$$

$$(iii) \frac{\sigma_1 - \sigma_2}{2} = \frac{\sigma_1 + \sigma_2}{2} \cdot \sin \theta + c \cdot \cos \theta$$

$$\sigma_1 = \sigma_2 \left| \frac{\sigma_1 + \sigma_2}{2} \right| + 2c \left| \frac{\sigma_1 - \sigma_2}{2} \right|$$

$$\sigma_1 = \sigma_2 \cdot \frac{\tan(45^\circ - \frac{\theta}{2})}{\tan(45^\circ + \frac{\theta}{2})} + 2c \cdot \tan(45^\circ + \frac{\theta}{2})$$

$$c = \frac{\sigma_1 - \sigma_2}{2} \cdot \frac{\tan(45^\circ - \frac{\theta}{2})}{\tan(45^\circ + \frac{\theta}{2})}$$

constante moyenne effective  $c'$

$$c' = \frac{1}{2} (\sigma_1 + \sigma_2)$$

Les paramètres "c" et "e" sont mieux déterminés par une combinaison de deux (au moins encore de quatre) cercles différents. A cela suivent les équations suivantes:

$$c^2 = \frac{r_{\text{ext}}^{1-\text{ext}}}{r_{\text{int}}^{1-\text{ext}}} \quad \tan \theta = \text{constante I}$$

$$c^2 = \frac{r_{\text{ext}}^{1-\text{ext}}}{r_{\text{int}}^{1-\text{ext}}} - \frac{r_{\text{ext}}^{1-\text{ext}}}{r_{\text{int}}^{1-\text{ext}}} \tan \theta = \text{constante II}$$

$$c^2 = c^{\text{II}} \quad \tan \theta = \frac{r_{\text{ext}}^{1-\text{ext}}}{r_{\text{int}}^{1-\text{ext}}}$$

$$\sin \theta \cdot [r_{\text{ext}}^{1-\text{ext}} + r_{\text{int}}^{1-\text{ext}}] - (r_{\text{ext}}^{1-\text{ext}} + r_{\text{int}}^{1-\text{ext}}) = [(r_{\text{ext}}^{1-\text{ext}} - r_{\text{int}}^{1-\text{ext}}) - (r_{\text{ext}}^{1-\text{ext}} - r_{\text{int}}^{1-\text{ext}})]$$

$$\sin \theta = \frac{(r_{\text{ext}}^{1-\text{ext}} - r_{\text{int}}^{1-\text{ext}}) - (r_{\text{ext}}^{1-\text{ext}} - r_{\text{int}}^{1-\text{ext}})}{(r_{\text{ext}}^{1-\text{ext}} + r_{\text{int}}^{1-\text{ext}}) - (r_{\text{ext}}^{1-\text{ext}} + r_{\text{int}}^{1-\text{ext}})}$$

Pour une grande partie des valeurs d'essais disponibles "e" et "c" peuvent être déterminés facilement à partir de la graphique suivant avec  $\frac{r_{\text{ext}}^{1-\text{ext}}}{r_{\text{int}}^{1-\text{ext}}}$  (rayon des cercles de  $\text{M}_1\text{M}_2$ ) en tant qu'ordonnée et  $\frac{r_{\text{ext}}^{1-\text{ext}} - r_{\text{int}}^{1-\text{ext}}}{r_{\text{ext}}^{1-\text{ext}} + r_{\text{int}}^{1-\text{ext}}}$  (situation du centre des cercles de  $\text{M}_1\text{M}_2$ ) en tant qu'abscisse.

$$\frac{r_{\text{ext}}^{1-\text{ext}}}{r_{\text{int}}^{1-\text{ext}}} = \frac{r_{\text{ext}}^{1-\text{ext}}}{r_{\text{int}}^{1-\text{ext}}} \cdot \tan \theta + b$$

$$\frac{r_{\text{ext}}^{1-\text{ext}}}{r_{\text{int}}^{1-\text{ext}}} = \frac{r_{\text{ext}}^{1-\text{ext}}}{r_{\text{int}}^{1-\text{ext}}} \cdot \sin \theta + c - \cos \theta$$

$$\tan \theta = \sin \theta$$

$$b = c - \cos \theta = \left( \frac{r_{\text{ext}}^{1-\text{ext}}}{r_{\text{int}}^{1-\text{ext}}} \right)$$

$$c = \frac{b}{\sin \theta}$$

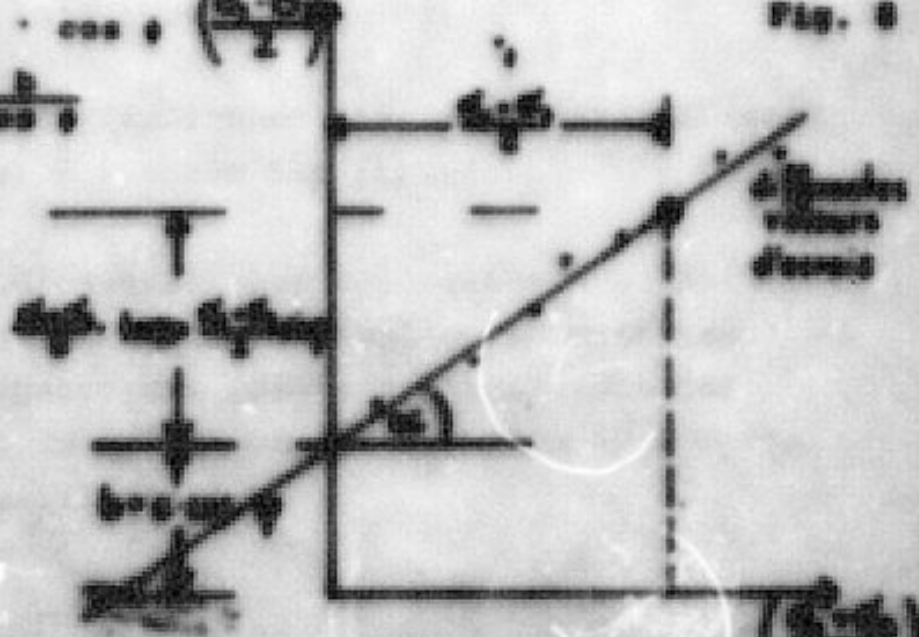


Fig. 9

#### 4.0 quelques indications et conclusions sur le comportement des essais de stabilité dans les murs

Le démantèlement des blocs de roche, devant servir aux essais à 100% d'essai, conduit de 10,7 à 19,7 cm (surfaces lisses et rugueuses) à 34 cm (carrées).

Des échantillons plus rugueux sont trouvés dans la perspective de la mise en œuvre avec le critère de "durée de stabilité direct au sol" (v. rapport CH 14, p. 14 ff., annexes 7, 9, 11).

Le rapport entre la fissure et le boutur : du bloc d'essai est de 3 : 1.

La mesure de ces essais va montrer le caractère de stabilité direct au sol que résistent à la rupture et résistance mécanique. La résistance au démantèlement est déterminée en tant que fonction de la caractéristique normale (particulière) par rapport à la surface de démantèlement.

L'application du bloc d'essai et la variation des charges vont dépendre de manière à ce que la position de la surface de démantèlement correspond à une tension dépendante d'autre chose qu'à la pression de démantèlement.

Le démantèlement de la résistance au démantèlement de la roche devrait consister en moins cinq essais dans une série d'essai. À cette condition chaque démantèlement sera associé à une charge dépendante mais constante.

Dans la mesure du possible faciliter avant et après l'essai les opérations servant à mesurer les forces.

À l'aide des comparaisons basées sur les déplacements de moins à trois unités différentes de bloc d'essai ou de nombreuses observations, quatre paramètres suivent chaque fois les déplacements mesurés ou les déplacements totaux (y compris les déplacements de démantèlement).

Le système de mesure du déplacement au cisaillement devrait avoir un jeu (courbe possible du déplacement maximal) d'au moins 70 mm et un degré d'inexactitude supérieur à  $\pm 0,1$  mm. Pour les autres déplacements sont valables les valeurs correspondantes de 30 mm et de  $\pm 0,05$  mm.

Au cours de l'essai la condition du bloc d'essai et en particulier de la surface de cisaillement ne doit pas se modifier dans la mesure du possible par rapport à la forme et aux caractéristiques lors de la préparation du bloc.

Un petit creux d'une profondeur de 30 mm et de 50 mm de largeur doit entourer la base du bloc afin de favoriser les déplacements latéraux et de cisaillement.

Avant d'insérer le bloc d'essai dans du béton ou un matériau semblable, suffisamment fort et rigide, une couche de matériau tendre d'une épaisseur de 3 mm est mise en place autour de la base du bloc. Ceci évite la destruction ou l'affouillement du bloc au cours de l'essai. Les surfaces entraînant la charge du bloc préparées par rapport à la surface de cisaillement (distance  $\pm 3^\circ$ ). Veiller à ce que le béton ait suffisamment de temps à se consolider avant d'insérer l'essai. La phase de consolidation pour une contrainte normale prescrite peut être considérée comme terminée quand la variation moyenne du déplacement normal indique moins de 0,05 mm en 90 min. sur tous les comparateurs. Maintenant la charge de cisaillement peut être appliquée.

Les lectures suivantes sont prises dans avant l'application de la contrainte normale de cisaillement. Dans les 10 min. d'intervalle entre deux lectures, la modification dans le déplacement au cisaillement doit être inférieure à 0,1 mm/da. Exceptuellement la modification entre les lectures peut atteindre 0,5 mm/da., à condition que la contrainte normale à la rupture est enregistrée avec une exactitude suffisante.

Pour un essai drainé le temps total (pour atteindre la contrainte maximale) doit dépasser  $6 \times t_{100}$  (v. fig. II, courbe de consolidation). Ceci est valable spécialement pour l'étude des discontinuités remplies d'argile.

~~en continu~~  
Après la résistance maximale obtenue, faire les lectures à des intervalles de déplacement de cisaillement entre 0,5 à 1 mm. Ceci est nécessaire pour obtenir assez exactement les courbes du déplacement — force. Le déplacement au cisaillement doit être de 0,02 à 0,2 mm/min. dans l'intervalle de 10 min. avant une lecture. L'augmentation <sup>de temps</sup> plus de 1 min/min. entre les lectures est inadmissible.

Quand un échantillon est cisallé sous une contrainte normale constante et que l'on dispose d'en moins quatre lectures chacune, n'obligant pas plus de 5 % de variation dans la résistance au cisaillement le long un déplacement de cisaillement de 1 cm, alors il est possible d'établir la valeur de la résistance résistuelle.

Concurrentement à l'essai il faudra mesurer le bloc, le retourner, en prendre des photos en couleurs et le décrire en détail. On détermine la roche, la direction et le pendage de la surface cisallée, les échantillons de roche, les matériaux de remplissage des fissures, et les débris de cisaillement servant aux essais de laboratoire menés parallèlement.

### CHAPITRE

Les enroues de la "consultation" (fig. 11) ont été étudiés durant le stage d'essai.

Le temps  $t_{app}$  est déterminé au moyen de deux températures mesurées dans la partie inférieure de la courroie.

Le temps, à partir du début de la charge de cisaillement jusqu'à atteinte de la résistance normale, doit être supérieur à 6 à  $t_{app}$ . Ceci permet de réduire la pression initiale.

La moyenne des lectures des différents déplacements est faite en vue d'obtenir des valeurs moyennes des déplacements de cisaillement et déplacements normaux.

Les déplacements latéraux (dans le sens oblique par rapport au déplacement de cisaillement) doivent être observés également et être pris en considération, le cas échéant, pour le calcul de la surface de contact corrigée (voir fig. 9).

La résistance au cisaillement ( $\tau_{app}$ ) et la contrainte normale ( $\sigma_{app}$ ) se calculent comme suit (voir fig. 10 et 16) :

$$\tau_{app} = \frac{P_{app}}{\frac{A}{\sin \alpha}} = \frac{P_{app} \cdot \sin \alpha}{A}$$
$$\sigma_{app} = \frac{P_{app}}{\frac{A}{\sin \alpha}} = \frac{P_{app} + P_{app} \sin \alpha}{A}$$

- $P_{app}$  [N] = force de cisaillement totale (ou  $P_{app}$ )  
 $P_{app}$  [N] = force normale totale  
 $P_{app}$  [N] = force de cisaillement appliquée  
 $P_{app}$  [N] = force normale appliquée  
 $\alpha$  [ $^{\circ}$ ] = angle d'inclinaison de la force de cisaillement appliquée vers le plan de cisaillement  
qui  $\alpha = 0$ , alors que  $\alpha = 1$  et que  $\alpha = 90$   
 $A$  [ $m^2$ ] = surface de recouvrement du plan de cisaillement (superficie efficace de contact compte des déplacements de cisaillement)

Dans la mesure où  $\epsilon$  est plus grand que 0, la force normale appliquée devrait être inférieure de la valeur  $P_{\text{ex}}$  à  $\epsilon$  fois  $\epsilon$  après chaque augmentation de la force de cisaillement (= force tangentielle). Ceci permet de maintenir la contrainte normale à peu près constante.

Afin de pouvoir comparer les changements d'une surface, on peut diviser la force normale appliquée de la valeur suivante:

$$\frac{P_{\text{ex}}(0) + \delta_{\text{ex}}(0)}{\delta_{\text{ex}}}$$

En rapport avec l'orientation de la surface de cisaillement:  
 $\epsilon_{\text{ex}}$  (au) = déplacement de cisaillement en déplacement tangentiel  
 $\delta_{\text{ex}}$  (au) = déplacement normal en déplacement vertical  
(voir fig. 9 et 10).

Il faut toujours tenir compte du poids propre et de l'orientation de l'application des forces hors des calculs.

Méthode des graphiques pour chaque type d'essai.

Force tangentielle - déplacement tangentiel

dépl. tang. (act.) - déplacement normal

et

Forces - temps

Déplacements - temps

(voir fig. 15, 16 et 17, 18).

La courbe de la force de cisaillement (au) en utilisant plus tard = grande compression = la résistance au cisaillement (au)

(voir fig. 15, 16, 17).

Direction de cisaillement

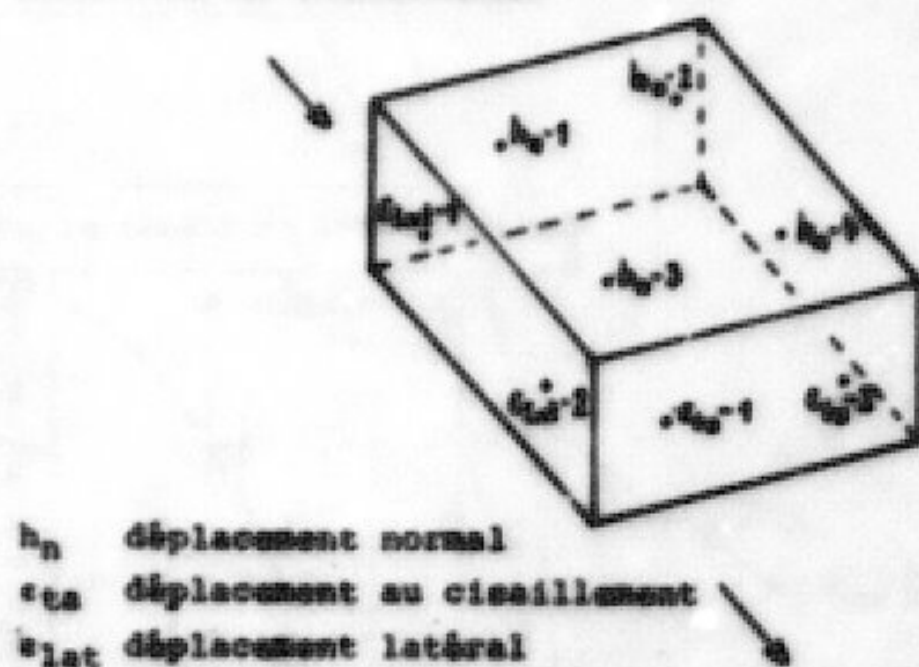
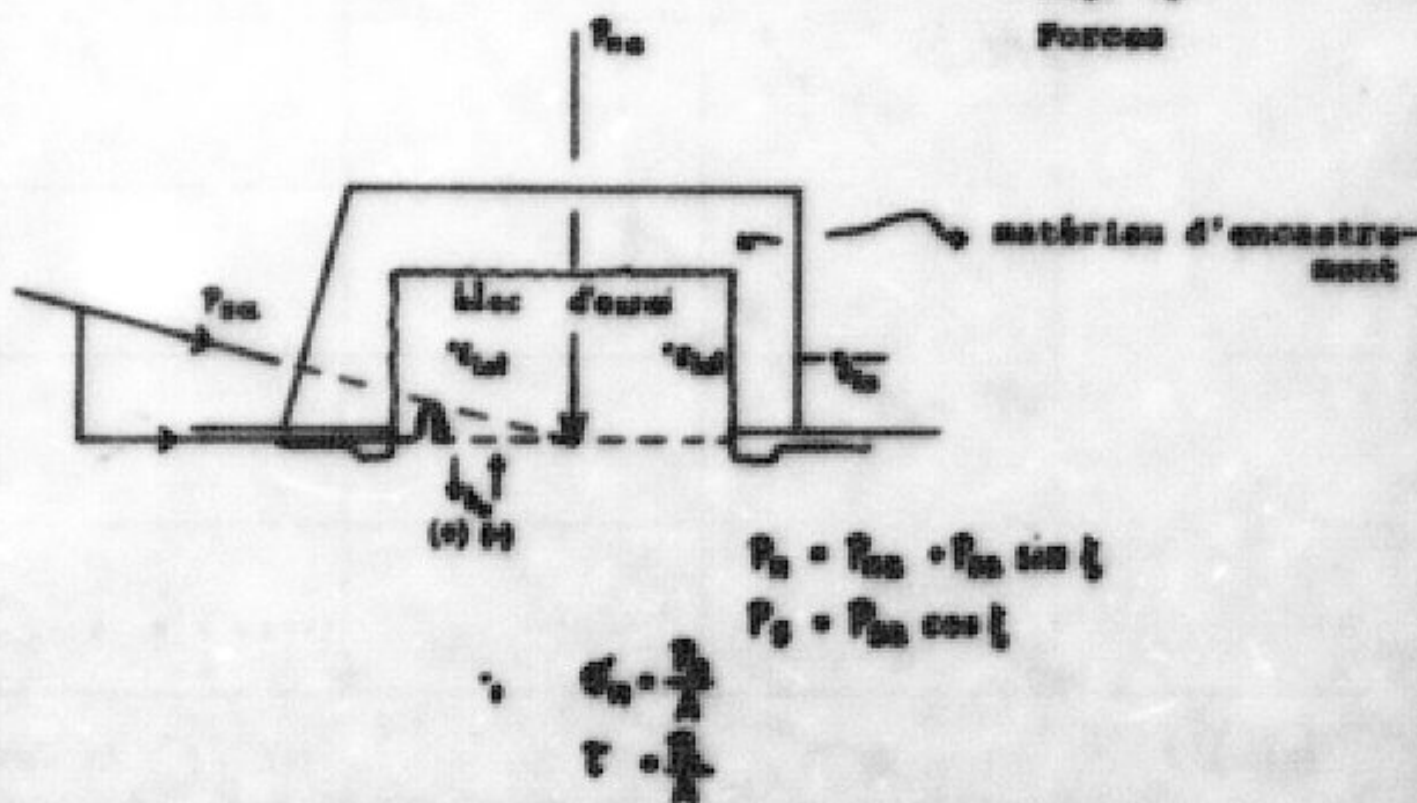


Fig. 9  
Disposition des  
compartiments du  
déplacement  
(nombre min.=3)

a

Fig. 10  
Forces



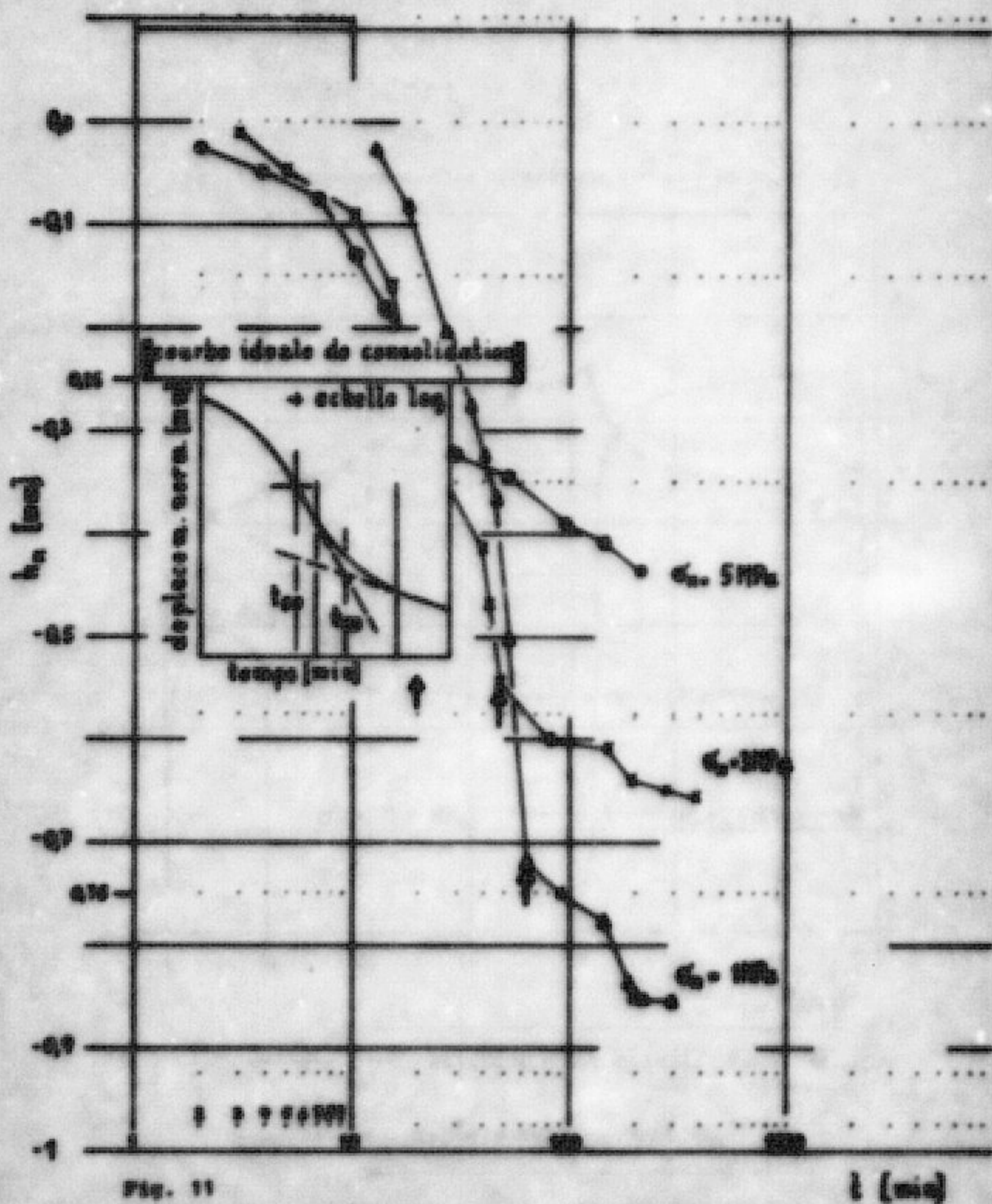
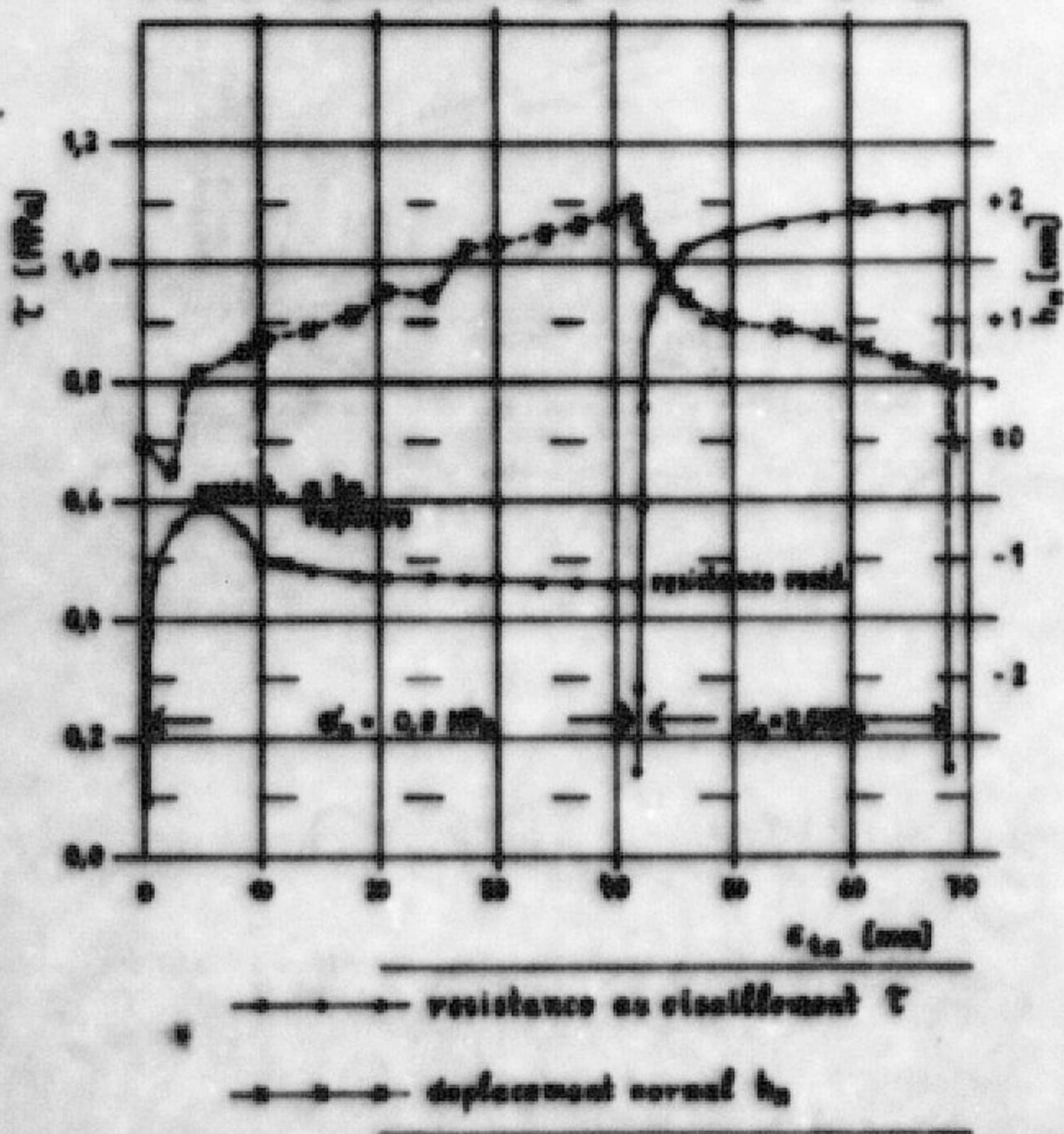


Fig. 11

Courbes de 'consolidation' pour un essai de consolidat.  
à trois cycles.

Courbes 'consolidation' pour une force normale initiale qui dépend  
de l'application de la prochaine force de consolidat.

FIG. 12: Représentation graphique de  $\sigma_{ts}$  et  $b_0$  en fonction de  $T$ .



Notes:

$\sigma_0 = 1 \text{ Pascal} = 10^{-5} \text{ bar}$  (voir pages 2 et 4)

$b_0 = 1 \text{ micromètre} = 10^6 \text{ nm}$  (voir page 5)

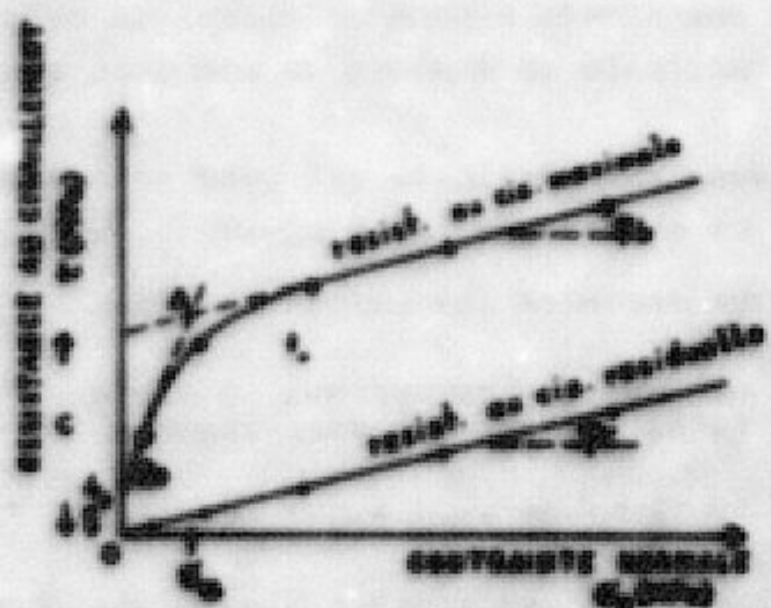


Fig. 13: Diagramme

Résistance au cisaillement vers  
contrainte normale  
(plusieurs essais avec différents  $\sigma_0$  mm<sup>2</sup>)



Fig. 14: L'angle "i" indique l'inclinaison des asperités de surface

Ces graphiques permettent de connaître les coordonnées normales minimales et maximales et chaque élément de la structure normale en cours de décollage.

En combinant tous les éléments des deux on obtient les paramètres minimaux de la résistance au décollage (fig. 13) :

- $\theta_0$  (°) angle de freinage apparent sous contrainte normale  $\sigma_0$
- $\theta_1$  (°) angle de freinage apparent au dessus du niveau de la contrainte normale  $\sigma_0$  (point A)
- $\theta_2$  (°) angle de freinage réel
- $\sigma^*$  (kg) résistance à l'arrachement :  
niveau de résistance au décollage maximal
- $\sigma^*$  (kg) résistance apparente sur le niveau d'une résistance correspondante à  $\theta_0$

Les résistances de pointe au décollage ont été tirées dans le graphique amplifié au tout que résistances au décollage normale et résistances à la rupture (voir fig. 13).

La résistance au décollage résistible est celle qui ne dépasse pas l'épaisseur d'une distorsion ou d'une déformation aiguë appartenant à la rupture telle que le déplacement de décollage dépendant (voir fig. 13).

La partie d'une résistance au décollage à peu près constante.

Cette véritable résistance résistible n'est obtenue qu'après un déplacement de décollage bien plus long que l'un unique oscillatoire en cours d'un essai.

Des développements des résultats se sont qu'apparentable et se doivent être considérés qu'en relation avec toute la théorie de résistances au décollage - déplacements au décollage.

au  $\theta_0$ : le point "a" dérive de la plus grande courbure de la courbe de la résistance au cisaillement maximale (fig. 13). Cette courbure apparaît suite au cisaillement de certaines asperités de la surface de cisaillement (voir fig. 14).

Pour  $\theta_0$  il faut noter le  $\alpha_p$  y appartenant.

Valable est  $\theta_0 = \theta_p + 1$

$\theta_p$  (\*) = angle de frottement pour des surfaces lisses et planes de roche sur roche

$\alpha$  (\*) = inclination des asperités de surface (voir fig. 14).

#### - Explication des résultats -

Le rapport doit comprendre ce qui suit:

- un résumé, une ou plusieurs photos ainsi qu'une description détaillée de l'équipement servant aux essais et une description des méthodes relatives à la préparation des échantillons et des essais.

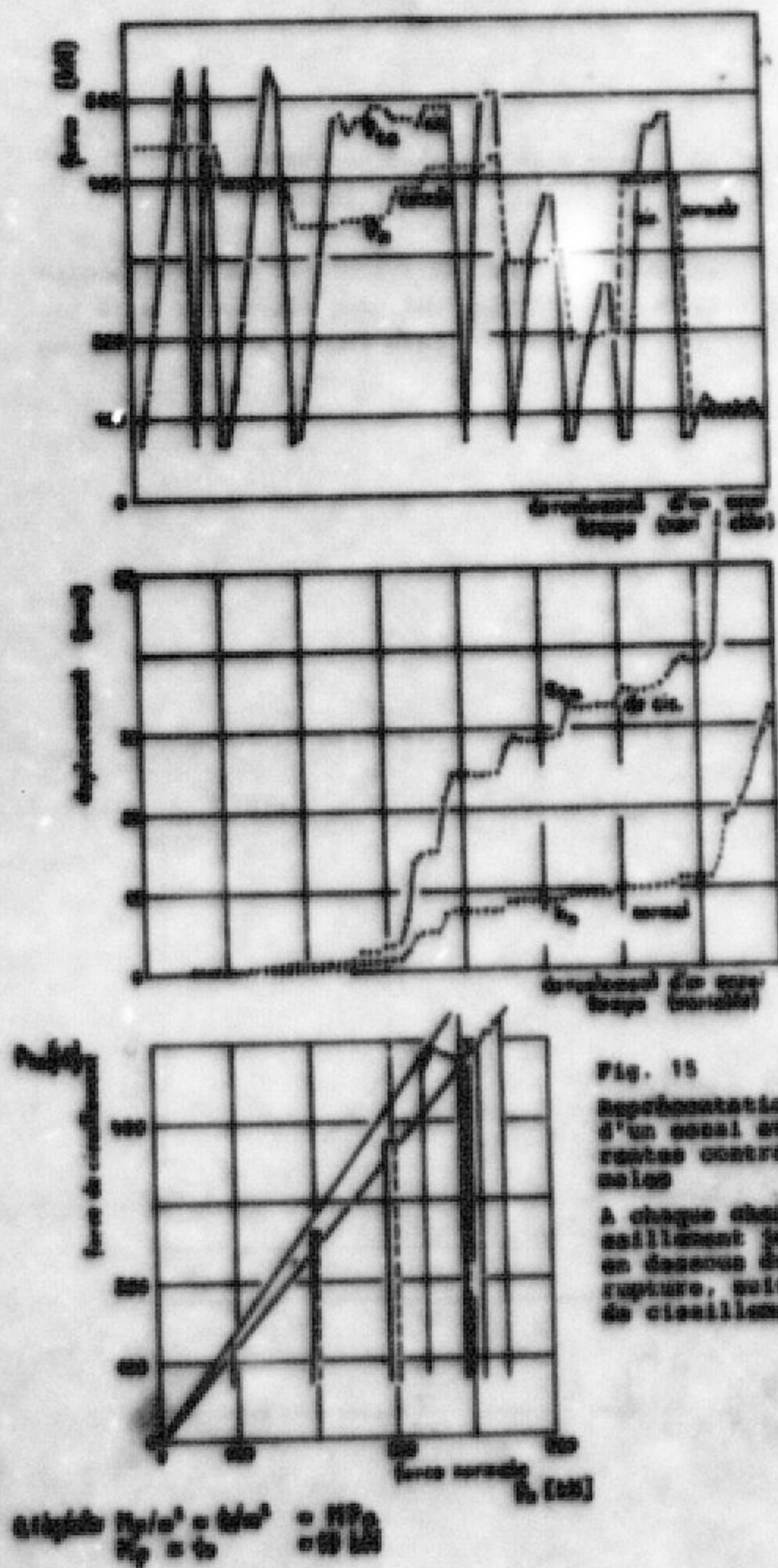


Fig. 15

Représentation graphique d'un essai avec différentes contraintes normales

A chaque charge de contrainte donnée il existe un déroulement de charge de rupture, soit une charge de contrainte

Fig. 16 Détermination de  $\phi$  et "c" à partir de la représentation graphique  $c = c_0$

Selon l'avis de la plupart des experts la cohésion ne doit pas être considérée pour les calculs de stabilité dans la mesure où elle apparaît dans la roche.

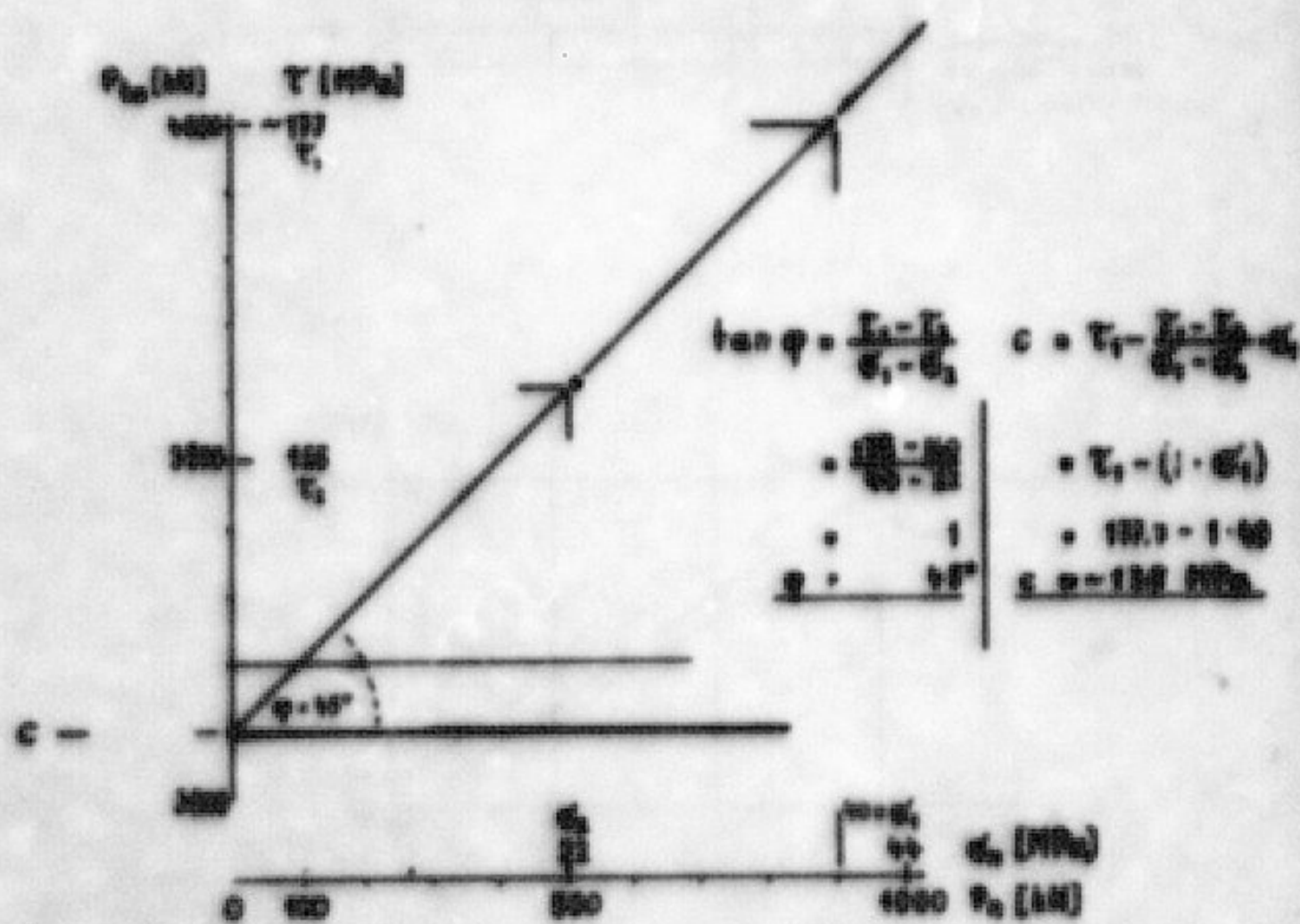
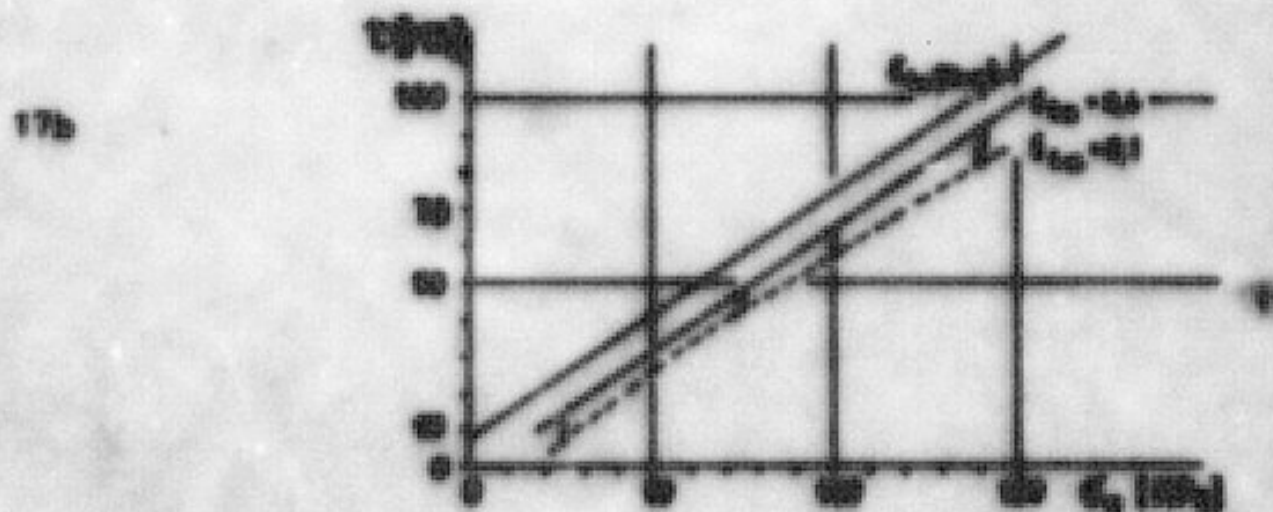
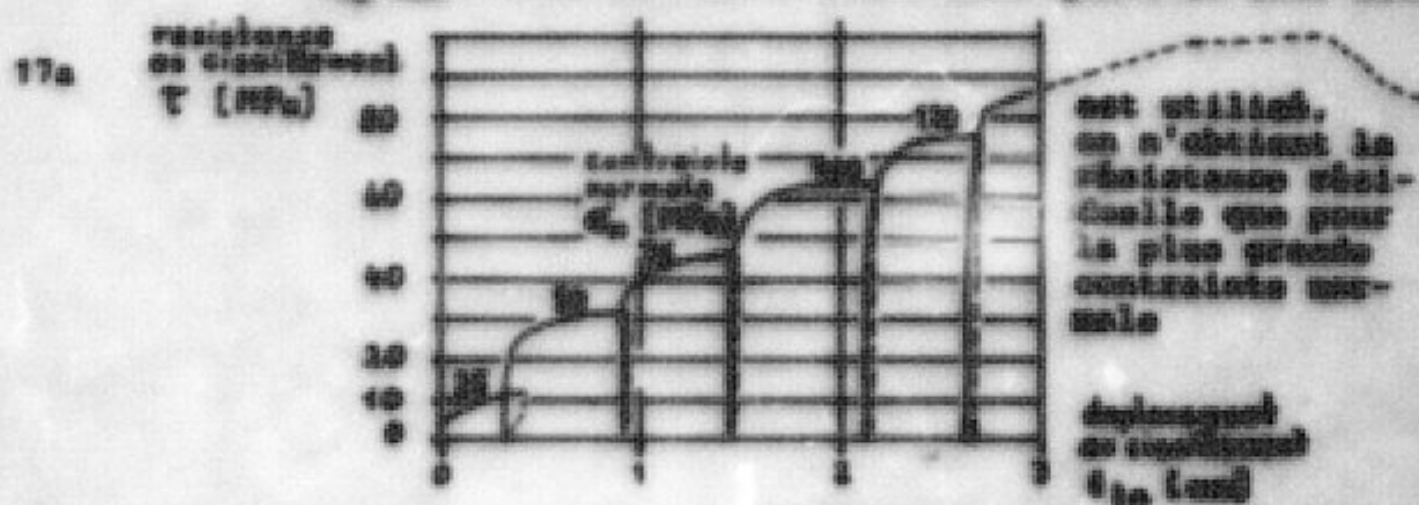


Fig. 17a Représentation graphique : -  $\epsilon_t$  avec différents cycles de charges

Fig. 17b Représentation graphique  $t - \sigma_0$  (obtenue à partir de la fig. 17a)

Afin de pouvoir utiliser un seul bloc pour plusieurs cycles, il est d'usage de ne déclencher celui-ci jusqu'à la rupture totale que la dernière fois ( $\text{c}_n = \text{max}$ ). Dans ce cas, c'est-à-dire quand un seul bloc



- b) Pour chaque échantillon il faudra pouvoir disposer d'une description géologique de la roche intacte, de la surface cisaillée, des matériaux de remplissage des fissures et des diaclases.

En supplément il y a les résultats de laboratoire relatives à des échantillons prélevés en même temps au même endroit (tels que p.ex. limites d'Atterberg, teneur en eau, granulométrie du matériau de remplissage) ainsi que les coupes d'aspérités dans le bloc de roche.

- c) Photos de chaque surface cisaillée. Lieu, dimensions de la surface, direction et angle de pendage.

On note la direction de cisaillage et toutes les particularités du bloc.

- d) Pour chaque bloc d'essai on établit différentes graphiques.

Toutes les valeurs dérivées, surtout celles de la résistance au cisaillage maximal et de la résistance résiduelle y compris les fonctions s'y rapportant (contrainte normale, déplacement tangentiel et déplacement normal) doivent être représentées en tableaux.

Tabelle Nr. 1

Paramètres de calcullement direct de sites cités en différentes lieux

à la rupture	"c" (mm)	s i t e	autheur/années
49 à 94	•	calcaires stratifiés du Jura, à Bonn (Sieg- thal), Allemagne	Lösch et Stauder 1970
45	140	dolomies de Ramez, Alpes bavaroises Allemagne	Schottla 1960
26 à 31	3 à 1	"Quartzites" du "Mauer" d'age dématé Bonn, Allemagne	Schottla 1960

Beaucoup d'auteurs ne considèrent pas nécessaire de tenir compte de la cohäsion de la roche lors du calcul de stabilité

**5.0 CONCLUSIONS**

Jusqu'ici on n'a toujours pas pu commencer les essais de dégagement in situ.

Comme déjà mentionné dans la Note adressée à l'Administration du Projet de Sidi Saïd à Bairouza, le 4 Juillet 1977, il a fallu commander du matériel complémentaire au R.P.A., entre autres deux perceuses et une scie de roche. - Ce matériel n'est toujours pas livré.

Par ailleurs la galerie C 6 (marron) nécessite un boulage.

Le rendement du personnel local , ce qui concerne la préparation des blocs, pourrait être meilleur.

Pour le dégagement et la supervision des essais chaque toujours un géologue tunisien, sorti d'une école supérieure.

Le ciment recouvré a été procuré par l'Administration tunisienne le 1er Septembre 1977.

Bairouza, le 7 Novembre 1977



(Dr. Ghassan Elmi)

6.0 LITERATUR

"*Karren*", 1970: Die Talkarren Österreichs.  
Heft 18, Wien, Autrichia, Verl. des österr. Wasserwirtschaftsverbandes

"*grasen*", 1975: DIN-Taschenbuch No. 36  
Grasenbau, Grund und  
Bau-Verlag Gmbh, Berlin, Köln u. Frankfurt/M.

Chevre, Cohen, Lillemand, 1970 (?):  
Dictionnaire du Français vivant.  
M. DENOËL, Paris, Bruxelles, Montréal

Horn, A., 1963:  
Die Scherfestigkeit von Schluff  
Dissertation ETH Zürich, Institut für Grundbau usw.  
Hegeler Verlag Köln und Opladen; Forschungsberichte  
des Landes Nordrhein-Westfalen, Nr. 1346

1988, 1973 (?):  
Suggested Method For In Situ Determination Of Direct  
Shear Strength  
(?) Internat. Society Of Rock Mechanics.  
- Bericht ITSMPLS, Bonthain et Salzburg

Édition d'Ingénieurs, 1974:  
Échantillon des Solos  
Edition Syrolles, Paris

Acquisition de matériel entre le 1er Juin et le 1er Décembre 1977 en rapport avec les essais de cisaillement direct in situ prévus à Sidi Saad (suite de l'Annexe 12 du rapport CR 14)

**Remarque:** voir A 48 - la perceuse METABO a été trouvée hors d'état de servir dans la galerie G 3 le 6 Juillet 1977. Ceci est dû à l'utilisation incorrecte par les personnes locaux. Un nouveau interrupteur ainsi que la pièce intérieure du moteur-accumulateur ont été commandés en R.F.A. mais n'ont pas encore été livrés.

" Les deux pièces mentionnées m'ont été remises par M. Ammar, Ingénieur Principal, le 3 Nov. 1977; elles seront montées sans tarder dans la perceuse (Fournisseur: METABO-Werke, 7460 Württemberg, R.F.A.)

B 1	feuille transparente en nylon, 15 m (0 <sup>2</sup> /330/m)	3,300 DT
B 2	outils divers de chez REVOLON, 92, Av. de Carthage (v. à 22 d'Ann. 12) Tunis	20,000 DT
B 3	rayonnages, deux pièces (à 3 cases)	74,000 DT
B 4	tente de tente, ronde, 2	795,000 DT
B 5	étagères anti-poussière PIRELLI (16/132,-3/3 polystak), 4, v. aussi à 44 et à 50 de l'Annexe 13	200,000 DT
B 6	bretelles métalliques, 4; v. à 54 bretelles métalliques, 4	4,400 DT 1,400 DT
B 7	anode-disque, 40, v. à 39	10,070 DT
B 8	bâches 3, v. à 56	2,000 DT
B 9	bâches 3, v. à 56	2,000 DT
B 10	bâches 3, v. à 56	10,000 DT

B 11	câble mastic No. 13 de PHONIX, v. 8 3 WANNA, K.F. 30, 01 420 Wiesbaden / FRANKFURT câble divers	1,200.- DM
B 12	maniques anti-pourrisseur V. B 3	15,000.- DM
B 13	câble B 07 SE-F, lg 3,5 mm <sup>2</sup> (No. 07 251 104) Vereinigte Raut- u. Rabalwerke Gmbh/Burgdorf; longueur 100 m	625,50.- DM
B 14	tambour de câble, 3 piéces, diamètre 30 cm	470,00.- DM
B 15	lampes de poche WANTA, No. 619 101 111, longueur 24 cm, 3 piéces, chacune avec 3 piles- max., 1,5 V aphtol, 313 V 1 mA 30, longueur 5,7 cm, diamètre 1,0 cm	20,00.- DM
B 16	prises de courant (fiche), 9	68,90.- DM
B 17	isolateurs, 3 piéces, 60 W; B 37, No. 007-02104 longueur 20 cm, diam. 10 cm; expresso LINZER 220-230 V, 60 W, 3 piéces W. 00001 00	61,50.- DM
B 18 à B 17	= DM 1.470,-, y compris frais de transport aérien et taxes octroi No. 01 636	
B 19	équerre, 2	1,000.- DM
B 20	angouille, 14, 60 W à vis (00100)	1,000.- DM
B 21	piles pour lampe de poche, 14, (00110)	1,040.- DM
B 22	coude-étagère de transportage, 30 W, 0 0 et 0 30, manque dérouleur, échelle, 6000 tr/min.	21,760.- DM
B 23	isolateur à gencile, 5 (00030)	4,000.- DM
B 24	câble de cuivre pour isolateur 5000	5,000.- DM
B 25	coude, 90°, pour filtre filtre (v. B 23), v. 9 175 9 1 de WAGO (au J. Y de dérouleur) to 37,70.- DM	

B 25	table en bois servant de bureau pour les officiers 4 à 8 et 10 à 12 (dimensions des meubles des officiers du commandement) hauteur 1,00 m. surface env. 0,60 x 0,60 m.	15.000 FF
B 26	évier, 3 ans., total = 100 kg. dimension 800 x 400 mm. (évier) le lavabo. Fonte artificiel avec 200/300, moins 7 10-100 moins baguettes - évier égoutteur	
B 27	cuvette en matière plastique. 3 pièces	3.000 FF
	chiffon, 3 pièces	1.000 FF
	chiffon d'épongerelle, 11 pièces	3.000 FF
B 28	blocs de chauffe, 7 pièces pour les travaux dans la galerie (combustibles)	64.000 FF

Réparations: voir à 53 - perceuse ABC

Cet appareil est hors de service depuis le 12 octobre 1977, dû à l'insuffisance du perceuse basal; une bobine est grillée.

Il faudra éviter de faire passer le poïde du bascule sur la poignée de la perceuse

B 29	jeux de cartes pour plusieurs personnes, 3 pièces (à 2.000)	6.000 FF
------	---	----------

B 25	tapis en tapis servant de berme pour les galeries G 3 et G 4 (Installation des réseaux des canalisations d'établissement) Largeur 1,20 m, surface sup. 0,60 x 0,60 m	15.600 Fr
B 26	élement, 3 mms, total = 180 kg, fourni par l'Administration (M. Amor) le 14 Sept. 1977 Portland artificiel CRA 350/315, norme P 15-303 votre signature - Djamel Djelloud	
B 27	cassette en matière plastique, 2 pièces	2.520 Fr
	chiffon, 5 pièces	1.920 Fr
	chiffon à épandage, 11 pièces	3.280 Fr
B 28	blocs de chauffe, 7 pièces pour les travaux dans la galerie (combinaison)	45.035 Fr

Rémarque: voir à 53 - paragraphe ADD

Cet appareil est hors de service depuis le 13 Octobre 1977, dû à l'indisponibilité du personnel local; une bâche est grillée.

Il faudra éviter de faire poser le poids du bateau sur le parapluie de la perceuse

B 29	jeu de charbons pour bouloche FENEST,	
	3 pièces (à 3.057)	6.167 Fr

REFÉRENCES RELATIVES À LA STABILITÉ DES TERRASSES

- Bouyoucos, J. et R. Bouyoucos, 1970  
Influence de l'eau sur la stabilité des barrages  
Le Houille Bleue, Vol. 25, No. 5/6, pp. 469-489, Grenoble
- Bishop, A.W., 1955  
The Use of the Slip Circle in the Stability Analysis of Slopes  
Geotechnique 5, No. 1, 7-17, London
- Bjørnøs, L. et Bjørnøs, B., 1960  
L'utilisation des méthodes triaxiales pour la résolution des  
problèmes de stabilité.  
Norges Geotekniske Institut, Oslo, Norvège  
(traduction de l'anglais: L.C.F.C. à Paris, 63 T.7a)
- Bjørnøs, L. et B. Morgenstern, 1960  
Stability coefficients for earth slopes  
Geotechnique 10, No. 4, 139-150, Londres
- Bjørnøs, L., 1967  
Progressive Failure in Slopes of Overconsolidated Plastic Clay and  
Clay Shales  
Soil, J. of Soil Mech. Found. Div., 93, No. SM 5, 1-49, New York
- Bjørnøs, L., 1968  
Braken van afslaggen in verholasteinen Tonen  
Medd. Tekn. St. Oslo, Norvège
- Brock, H., 1956  
Deutsche Bau. Über die Standesicherheit von Böschungen u. Böschungen  
Geotechnik 10, B. 1, 9-12, Berlin
- Chen, W., et al., 1975  
Stability of slopes in anisotropic nonhomogeneous soils  
Canad. Geotech. Journ. 12, 146-152, Montréal (Ottawa)
- Dense, D.O. and F.D. Patton, 1971  
Slope Stability in Residual Soils  
Proceed. 4. Panamerican Conf. Soil Mech. Found. Eng.,  
pp. 87-170, San Juan, Puerto Rico
- Eggo, B., 1970  
Die Beobachtung vom 20.11.1966 über der Rhein. Braunkohlewerke AG  
Försterkrücke Geol. Bericht. 17, 361-370, Kreisfeld

- Bürgenberger, B., 1973  
Stabilitätsanalyse von Steinschüben  
Mitt. Ber. Inst. f. Boden- u. Pol.techn. uaw.  
Dissertation, 113 dars., Schlesmark, Battrich
- Feld, J., 1973  
Foundation Failure. - Civ. Engineering ASCE, June, pp. 69-92  
New York
- Pallmann, W., 1967  
Bericht. Ber. v. Institut f. Bod. und unter Annahme kreiszylindr.  
Gesteinsschichten - Berlin
- Pröhlisch, O. K., 1954  
General Theory of Stability of Slopes  
Proceedings European Conf. on Stab. of Earth Slopes, Vol. 1, 60-56
- Scheiben, G. und R.-J. Leinenkugel, 1974  
Wirkungen und Reaktionen im Boden  
Der Bauingenieur 49, 289-293, Springer, Berlin u. Heidelberg
- Germann, P., 1974  
Über den Einfluss unterschiedl. Wasserdruckansätze auf die  
Stabilitätsanalyse von durchströmten Steinschüben  
Der Bauingenieur 49, No. 9, 298-301, Springer Berlin
- Jacobs, B., 1954  
Stability Analysis of Slopes with Dimensionless Parameters  
B.S. Harvard University
- Remy, B., 1936  
Grundriss, Erdwiderstand und Tragfähigkeit des Baugrundes  
Berlin
- Le Gentil, P., Tavenas, F.A. et al. Roy, 1974  
Les Méthodes de Stabilité Dans Les Dépôts Argileux Du Québec  
L'ingénieur (AVAIL.), 4-12, Montreal
- Lamontagne, B. und G. Müller-Birkenhäuser, 1967  
Beispiel Beispiele vor Berücks. u. Sanierung von Blockschüben  
Vierteljahr. Inst. Boden- u. Pol.techn., Sept. 36, in Praktikum  
Der Beruf
- Bürgenberger, B., 1963  
Stability Charts For Earth Slopes During Rapid Drawd-  
Down Techniques, II, 1, 131-131, London

Norpoatern, H.R. and V.E. Price, 1965  
The analysis of the stability of general slip surfaces  
Geotechnique 15, pp. 79-93, London

Rauher, R., 1968  
Untersuchung der Standfestigkeit halber Blockungen  
nach der sog. Streifensmethode  
Fortschritte Gesl. Minenkd. u. Bautech. 15, 249-263, Freiberg

Robie, R. L., 1973  
Residual Strength And Landslides In Clay And Shale  
Trans. Soil Mech. Found. Div., ASCE 99, No. 2B 9, 705-719, N. York

Rouse, P.W., 1968  
Failure of foundations and slopes on layered deposits in relation  
to site investigation practice  
Inst. of Civil Engrs. Proceed. Suppl. Paper 70 575, pp. 73-131  
B. Clowes on Gen. London

Selma, G. E., 1973  
Stability analysis of embankment and slopes  
Geotechnique 23, No. 1, 433-433, London

Selmann, B., 1976  
Standfestigkeit von bebauten Sand- u. Kiesgrubenabgängen  
Wasser und Boden, 2, 30-34, Paray Hamburg

Selbiger, A., 1973  
Betonbauten - Beton - Stahl  
Vor Druck. Verlag f. Grundstoffindustrie, Leipzig

Selbitz, B., 1973  
Standfestigkeitsuntersuchungen für Tagebaubeschüngen in  
verwitternd belastigen Böden  
Begegnungsblatt 6, Band 37, 176-183, Düsseldorf

Selbitz, B., 1986  
Standfestigkeit von Blockungen und Geländeabprägungen  
In - Grundbau - Tagesschau, 10-91, Band 1, 2. Auflage  
Verlag W. Ernst u. Sohn, Berlin u. München

Siedentopf, P. and W. Stauder, 1969  
Die Standfestigkeit von Blöcken auf wenig tragfähigen Untergrund  
Bauingenieur 44, 1039-1043, Heidelberg

Sterz, G., 1960  
Die Definition der Standsicherheit von Böschungen  
Diss. TU München

Sterz, G., 1961  
Grundlagenstudie u. Standsicherheit von Böschungen in  
eiszeitlichen Fällen  
Der Bauingenieur, 36. Jg., Heft 11, 423-426, Berlin

Sterz, G., 1963  
Der Einfluss des Porenwasserdrucks auf die Standsicherheit  
von Böschungen  
VGBR-Berichtsblf., 105, Nr. 30, S. 1566-1569, Düsseldorf

Shapcott, A.W., 1963  
The  $\phi' - \theta'$  analysis of stability and its theoretical basis  
Proc. 2nd Int. Conf. Soil Mech. 1, 73-79

Shapcott, A.W., 1964  
Long term stability of clay slopes  
Geotechnique 14, No. 1, 77-103, Londres

Großmann, G., u.a., 1970  
Soil Liquefaction - Standsicherheit von Böschungen  
Geopraktikum in Düsseldorf, 363-324, Düsseldorf in Essen

Benz, von, P., 1970  
Grundrissermittlung von Böschungen  
VGBR-Berichte, Nr. 142, 45-53, Düsseldorf

Bütegger, W., 1973  
Baupraktikum für Ingenieure  
Werner-Verlag, Düsseldorf

Bütegger, W. und O. Werner, 1969  
Bauwerke in Theorie und Praxis  
vom pagus 196-198, Springer, Wien u. New York

A d d e n d a

- Müller, Th. und H. Breth, 1977  
Der Marktbeobachtung eines Stützmauerbaus mit einem Look  
in der Oberflächenbearbeitung  
*Wasserwirtschaft* 91, B. 1, 11-15, Stuttgart
- Mitchell, J. B. and R. J. Skempton, 1973  
Clay Chemistry and Slope Stability  
ASCE, J. Soil Mech. Found. Div., 99, No. SM 10, Oct.,  
Tech. Notes, 783-791, New York
- Wright, G., Bulthoog, P. B. and J. M. Duncan, 1973  
Accuracy of Equilibrium Slope Stability Analyses  
Proc. ASCE, J. Soil Mech. and Found. Div., 99, No. SM 10, Oct.  
783-791, New York

7000

47

WUW